

КЛАССИФИКАЦИЯ РОТАЦИОННЫХ СОСТОЯНИЙ ЗАМКНУТОЙ СТРУНЫ С МАССИВНЫМИ ТОЧКАМИ

Миловидов А.Е., Шаров Г.С.
Кафедра функционального анализа и геометрии

Поступила в редакцию 08.10.2007, после переработки 22.10.2007.

Для замкнутой релятивистской струны с n массивными точками проведена классификация ротационных состояний (отвечающих равномерному вращению системы). Эти состояния разделены на три класса: гипоциклоидальные, линейные и центральные. Исследованы характерные особенности этих классов.

For the closed relativistic string with n point-like masses the rotational states (uniform rotations of the system) are classified. These states are divided into three classes: hypocycloidal, linear and central states. Specific features of these classes are studied.

Ключевые слова: замкнутая струна, классы ротационных состояний.
Keywords: closed string, classes of rotational states.

1. Ротационные состояния

Струнная модель экзотического адрона в виде замкнутой струны с n точечными массами описывает механизм конфайнмента, а также квазилинейные траектории Редже — зависимость углового момента от квадрата энергии адрона [1]–[3]. Эта модель обобщает модель бариона «треугольник» при $n = 3$ [3] и различные струнные модели глобола при $n = 2$ [4]–[7].

В работе [1] для замкнутой струны с натяжением γ , несущей n точечных масс m_1, m_2, \dots, m_n , были найдены точные решения уравнений движения, описывающие ротационное состояние — равномерное вращение системы. В этих решениях мировая поверхность струны $X^\mu(\tau, \sigma)$ в пространстве Минковского $R^{1,3}$ имеет вид

$$X^\mu(\tau, \sigma) = x_0^\mu + e_0^\mu(a_0\tau + b_0\sigma) + u(\sigma) \cdot e^\mu(\omega\tau) + \tilde{u}(\sigma) \cdot \dot{e}^\mu(\omega\tau). \quad (1)$$

Здесь

$$e^\mu(\omega\tau) = e_1^\mu \cos \omega\tau + e_2^\mu \sin \omega\tau, \quad \dot{e}^\mu(\omega\tau) = -e_1^\mu \sin \omega\tau + e_2^\mu \cos \omega\tau,$$

векторы e_0, e_1, e_2, e_3 образуют ортонормированный базис в $R^{1,3}$ с метрическим тензором $\eta_{\mu\nu} = (e_\mu, e_\nu) = \text{diag}(1; -1; -1; -1)$. Область $\sigma_0(\tau) < \sigma < \sigma_n(\tau)$ изменения параметра σ разделена траекториями массивных точек $\sigma = \sigma_i(\tau)$, $i = 0, 1, \dots, n$, их уравнения в $R^{1,3}$ имеют вид

$$x^\mu = x_i^\mu(\tau) \equiv X^\mu(\tau, \sigma_i(\tau)); \quad (2)$$

при $i = 0$ и $i = n$ они описывает одну и ту же траекторию n -ой точки

$$X^\mu(\tau^*, \sigma_n(\tau^*)) = X^\mu(\tau, \sigma_0(\tau)) \quad (3)$$

на трубкообразной мировой поверхности. Два параметра τ и τ^* , входящие в условие замыкания мировой поверхности (3), связаны соотношением $\tau^* = \tau^*(\tau)$ [3].

Для ротационных состояний (1) функции

$$\sigma_i(\tau) = \sigma_i = \text{const}, \quad i = 0, 2, \dots, n; \quad \tau^* - \tau = 2\pi\theta = \text{const}, \quad (4)$$

$$\frac{m_i\omega}{\gamma} [\dot{x}_i^2(\tau)]^{-1/2} = h_i = \text{const}, \quad i = 1, 2, \dots, n \quad (5)$$

являются константами, причем без потери общности можно положить

$$\sigma_0 = 0, \quad \sigma_n = 2\pi.$$

Функция

$$u(\sigma) = \begin{cases} A_1 \cos \omega\sigma + B_1 \sin \omega\sigma, & \sigma \in [0, \sigma_1], \\ A_2 \cos \omega\sigma + B_2 \sin \omega\sigma, & \sigma \in [\sigma_1, \sigma_2], \\ \dots \\ A_n \cos \omega\sigma + B_n \sin \omega\sigma, & \sigma \in [\sigma_{n-1}, 2\pi], \end{cases} \quad (6)$$

и подобная ей $\tilde{u}(\sigma) = \tilde{A}_i \cos \omega\sigma + \tilde{B}_i \sin \omega\sigma$, $\sigma \in [\sigma_{i-1}, \sigma_i]$ непрерывны, но их производные имеют разрывы на линиях $\sigma = \sigma_i$ (позициях масс m_i).

Функция (1) является решением уравнений движения струны

$$\frac{\partial^2 X^\mu}{\partial \tau^2} - \frac{\partial^2 X^\mu}{\partial \sigma^2} = 0,$$

уравнений на траекториях массивных точек (2) ($i = 1, \dots, n-1$)

$$m_i \frac{d}{d\tau} \frac{\dot{x}_i^\mu(\tau)}{\sqrt{\dot{x}_i^2(\tau)}} + \gamma [X'^\mu(\tau, \sigma_i - 0) - X'^\mu(\tau, \sigma_i + 0)] = 0, \quad (7)$$

$$m_n \frac{d}{d\tau} \frac{\dot{x}_0^\mu(\tau)}{\sqrt{\dot{x}_0^2(\tau)}} + \gamma [X'^\mu(\tau^*(\tau), 2\pi) - X'^\mu(\tau, 0)] = 0, \quad (8)$$

и удовлетворяет условиям ортонормальности

$$(\dot{X} \pm X')^2 = 0 \quad (9)$$

(здесь $\dot{X}^\mu \equiv \partial_\tau X^\mu$, $X'^\mu \equiv \partial_\sigma X^\mu$), если значения параметров ω , θ , σ_i , h_i , A_i , B_i связаны приведенными ниже соотношениями [1].

Условия непрерывности мировой поверхности $X^\mu(\tau, \sigma)$ на линиях (2) (непрерывность функций $u(\sigma)$ и $\tilde{u}(\sigma)$ при $\sigma = \sigma_i$), условие замыкания (3) и уравнения (7), (8) приводят к равенству

$$b_0 = -\theta a_0 \quad (10)$$

и к следующей системе уравнений относительно записанных в матричном виде

$$\mathcal{A}_i = \begin{pmatrix} A_i \\ \tilde{A}_i \end{pmatrix}, \quad \mathcal{B}_i = \begin{pmatrix} B_i \\ \tilde{B}_i \end{pmatrix}, \quad i = 1, \dots, n \quad (11)$$

множителей функций $u(\sigma)$ и $\tilde{u}(\sigma)$:

$$\mathcal{A}_{i+1} = (1 + h_i C_i S_i) \mathcal{A}_i + h_i S_i^2 \mathcal{B}_i, \quad \mathcal{B}_{i+1} = -h_i C_i^2 \mathcal{A}_i + (1 - h_i C_i S_i) \mathcal{B}_i, \quad 1 \leq i < n. \quad (12)$$

$$\mathcal{A}_1 = M_\theta (C \mathcal{A}_n + S \mathcal{B}_n), \quad \mathcal{B}_1 = M_\theta \left[-(S + h_n C) \mathcal{A}_n + (C - h_n S) \mathcal{B}_n \right]. \quad (13)$$

Здесь и ниже используются обозначения $M_\theta = \begin{pmatrix} C_\theta & -S_\theta \\ S_\theta & C_\theta \end{pmatrix}$,

$$C_i = \cos \omega \sigma_i, \quad S_i = \sin \omega \sigma_i, \quad C \equiv C_n = \cos 2\pi\omega, \quad S \equiv S_n = \sin 2\pi\omega, \\ C_\theta = \cos 2\pi\theta\omega, \quad S_\theta = \sin 2\pi\theta\omega, \quad c_i = \cos \omega(\sigma_i - \sigma_{i-1}), \quad s_i = \sin \omega(\sigma_i - \sigma_{i-1}).$$

Условие существования нетривиальных решений системы (12), (13) сводится к виду [1]

$$2(C_\theta - C) + S \sum_{i=1}^n h_i - \sum_{i < j} h_i h_j \sin \omega(\sigma_j - \sigma_i) \cdot \sin \omega(2\pi - \sigma_j + \sigma_i) + \\ + \sum_{i < j < k} h_i h_j h_k \sin \omega(\sigma_j - \sigma_i) \cdot \sin \omega(\sigma_k - \sigma_j) \cdot \sin \omega(2\pi - \sigma_k + \sigma_i) - \dots - (-1)^n \prod_{i=1}^n h_i s_i = 0. \quad (14)$$

Кроме этого, к ограничениям на значения параметров (11) приводит подстановка выражения (1) в условия ортонормальности (9):

$$\omega^2 (A_i^2 + B_i^2 + \tilde{A}_i^2 + \tilde{B}_i^2) = a_0^2 (1 + \theta^2), \quad i = 1, \dots, n; \quad (15)$$

$$\omega^2 (\tilde{A}_i B_i - A_i \tilde{B}_i) = a_0^2 \theta, \quad i = 1, \dots, n. \quad (16)$$

Уравнения (15) независимы, а из уравнений (16) только одно независимо, например, с $i = 1$. Если оно выполнено, то из уравнений (12) следует выполнение остальных.

2. Гипоциклоидальные состояния

Ротационные состояния (1), характеризующиеся значением параметра (4)

$$\theta \neq 0,$$

будем называть гипоциклоидальными. Как было показано в работе [1], они описывают равномерное вращение замкнутой струны, имеющей форму объединения отрезков гипоциклоиды, соединенных под ненулевыми углами в массивных точках.

Для гипоциклоидальных состояний при выполнении условия (14) с помощью системы (12), (13) можно выразить столбец \mathcal{B}_1 через \mathcal{A}_1 (последний можно выбрать произвольно):

$$B_1 = \frac{-C_* A_1 + S_\theta \tilde{A}_1}{S_*}, \quad \tilde{B}_1 = -\frac{S_\theta A_1 + C_* \tilde{A}_1}{S_*}. \quad (17)$$

Здесь выражения

$$\begin{aligned} C_* &= C - C_\theta - h_1 C_1 (SC_1 - S_1 C - h_2 s_2 s_3) - h_2 C_2 s_3, \\ S_* &= S - h_1 S_1 (SC_1 - S_1 C - h_2 s_2 s_3) - h_2 S_2 s_3 \end{aligned}$$

приведены для случая $n = 3$, переход к $n = 2$ обеспечивается равенством $s_3 = 0$.

Подстановка величин (17) в первые уравнения (15), (16) приводит к двум уравнениям, из которых следует равенство

$$\frac{C_*^2 + S_*^2 + S_\theta^2}{S_* S_\theta} = \frac{1 + \theta^2}{\theta}. \quad (18)$$

Значения параметров ω (безразмерных частот), θ , $\sigma_1, \dots, \sigma_{n-1}$ следует находить из системы уравнений (14), (18), дополненной $n - 1$ уравнениями

$$C_i (h_i C_i + 2S_i) (A_i^2 + \tilde{A}_i^2) + S_i (h_i S_i - 2C_i) (B_i^2 + \tilde{B}_i^2) = 2(C_i^2 - S_i^2 - h_i C_i S_i) (A_i B_i + \tilde{A}_i \tilde{B}_i), \quad (19)$$

— разностями уравнений (15), преобразованными с учетом (12).

Приведем вид данной системы уравнений в важном для приложений случае $n = 2$. При этом уравнения (14) и (18) имеют соответственно вид

$$2(C_\theta - C) + (h_1 + h_2)S - h_1 h_2 s_1 s_2 = 0, \quad (20)$$

$$2S + (h_1 + h_2)C - h_1 h_2 c_1 s_2 = S_\theta (\theta + \theta^{-1}). \quad (21)$$

При $n = 2$ единственное уравнение (19) после подстановки (17) сводится к простому виду

$$\sin [2\omega(\pi - \sigma_1)] = 0$$

и определяет следующий набор допустимых значений σ_1 :

$$\sigma_1 = \pi + \frac{\pi k}{2\omega}, \quad k \in \mathbb{Z}, \quad |k| < 2\omega. \quad (22)$$

Уравнения, связывающие массы m_i и скорости массивных точек v_i , следуют из равенств (5), (15), (16), (18):

$$a_0 = \frac{m_1 \omega}{\gamma h_1 \sqrt{1 - v_1^2}} = \dots = \frac{m_n \omega}{\gamma h_n \sqrt{1 - v_n^2}}, \quad (23)$$

$$v_1^2 = \theta \frac{S - h_2 s_1 s_2}{S_\theta}, \quad v_2^2 = \theta \frac{S - h_1 s_1 s_2}{S_\theta}, \quad (n = 2). \quad (24)$$

Система уравнений (20)–(22), как и обобщающая ее на случай $n > 2$ система (14), (18), (19), имеет счетный набор решений $(\omega, \theta, \sigma_i)$, каждое из которых отвечает определенному типу состояния (1). Различные типы решений (1) различаются числом и расположением точек возврата вращающейся гипоциклоиды (сечения $t = \text{const}$ мировой поверхности), которые движутся со скоростью света.

Классификацию этих решений проведем в рамках предложенного ранее подхода [1, 3], а именно, при фиксированных значениях γ , a_0 для заданного топологического типа решения (1) рассмотрим предел $m_i \rightarrow 0$. В этом пределе величины

h_i стремятся к нулю, скорости v_i стремятся к скорости света, а значения параметров 2ω и $2\omega\theta$ стремятся к целым числам [1], для которых мы введем следующие обозначения:

$$n_1 = \left| \lim_{m_i \rightarrow 0} 2\omega \right|, \quad n_2 = \lim_{m_i \rightarrow 0} 2\omega\theta. \quad (25)$$

В силу неравенства $|a| < 1$ и условий (14)–(22) приходим к равенству

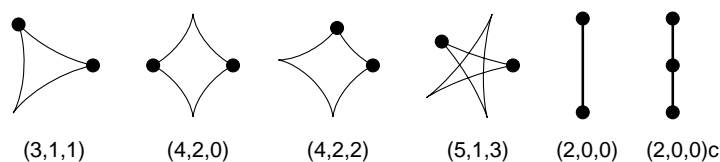


Рис. 1: Примеры ротационных состояний с указанием типа (n_1, n_2, k) .

Примеры ротационных состояний (1) (сечения $t = \text{const}$ мировой поверхности) приведены на рис. 1 с указанием соответствующих значений n_1, n_2, k (22), (25). Обозначены позиции массивных точек. Первые четыре состояния являются гипоциклоидальными и отвечают $n = 2$. Параметры ω и θ для этих состояний определены из системы двух уравнений (20) и (21) при заданных значениях параметров $m_1 = m_2$ и k в (22); значения остальных параметров — из уравнений (12), (17), (23), (24).

Последние два из показанных на рис. 1 состояний, характеризуются значением $\theta = 0$ (следовательно, $n_2 = 0$) и представляют соответственно линейные и центральные состояния.

3. Линейные состояния

Ротационные состояния (1), характеризуемые значением параметра $\theta = 0$ и ненулевыми скоростями массивных точек ($v_i \neq 0$), будем называть линейными.

Они описывают равномерное вращение имеющей прямолинейную форму несколько раз сложенной замкнутой струны. Эти состояния можно рассматривать как частный случай гипоциклоидальных и при $n = 2$ классифицировать их с помощью тех же целочисленных параметров (22), (25), но в рамках ограничения $n_2 = 0$. Два оставшихся параметра n_1 и k связаны ограничениями (26) и, следовательно, являются четными.

Простейшее линейное состояние, имеющее тип $(2,0,0)$, показано на рис. 1. Оно отвечает равномерному вращению системы из двух масс, связанных двумя прямолинейными отрезками струны. Если один из этих отрезков заменить на трехзвенную ломаную с двумя точками возврата (они движутся со скоростью света), которая лежит на той же прямой, то мы получим линейное состояние с типом $(4,2,0)$. Симметричное расположение точек возврата на отрезках $[0, \sigma_1]$ и $[\sigma_1, 2\pi]$ при $\sigma_1 = \pi$ определяет тип $(4,0,0)$.

При задании параметризации (1) линейного состояния в столбце (11) \mathcal{A}_1 положим $\dot{A}_1 = 0$ (направим вектор $e(\omega\tau)$ вдоль струны). В силу равенства $S_\theta = 0$ и уравнений (17), (10), (12) получаем, что $\dot{B}_1 = 0$, $b_0 = 0$ и $\ddot{u}(\sigma) = 0$. Следовательно, параметризация (1) мировой поверхности линейного состояния имеет вид

$$X^\mu(\tau, \sigma) = x_0^\mu + e_0^\mu a_0 \tau + u(\sigma) \cdot e^\mu(\omega\tau). \quad (27)$$

Параметры, входящие в это выражение по-прежнему определяются уравнениями (12)–(23), с учетом того факта, что для линейных состояний (27) при $\theta = 0$ уравнения (16) обращаются в тождества, а уравнения (18) и (21) теряют смысл (заменяются уравнением $\theta = 0$). Значения параметров ω , σ_i определяются из системы (14), (19). В случае $n = 2$ значение σ_1 по-прежнему выражается из формулы (22) с точностью до четного числа k , а уравнение (14) имеет вид (20). Подстановка в него $C_\theta = 1$ и следующих из (22) равенств $s_2 = (-1)^k s_1 = s_1$, $2s_1^2 = 1 - C$, приводит это уравнение к виду

$$(h_1 h_2 - 4) \operatorname{tg} \pi \omega = 2(h_1 + h_2). \quad (28)$$

Скорости массивных точек для линейных состояний определяются выражениями

$$v_i = 2(4 + h_i^2)^{-1/2}, \quad (29)$$

следующими из уравнений (15), (17), (22), (28) при $\theta = 0$.

4. Центральные состояния

Центральными состояниями будем называть ротационные состояния (1) с $\theta = 0$, $n_2 = 0$, в которых одна или несколько массивных точек покоятся в центре вращения. Пример такого состояния с $n = 3$ массивными точками показан на рис. 1 справа.

Мировую поверхность центрального состояния без потери общности можно задать в виде (27). Вычислим значения параметров в этом выражении для центрального состояния с $n = 3$, массой m_3 , покоящейся в центре вращения ($v_3 = 0$), и массами m_1 , m_2 , движущимися с ненулевыми скоростями v_1 и v_2 . Равенство $v_3 = 0$

приводит для данной системы к равенству $u(0) = 0$ функции (6), что равносильно уравнению

$$A_1 = 0, \tag{30}$$

которое делает невозможным использование для данного состояния уравнений (17).

Выразив с помощью уравнений (12) коэффициенты A_2, B_2, A_3, B_3 через B_1 , например, $A_3 = (h_1 s_1^2 + h_2 S_2^2 - h_1 h_2 S_2 s_1 s_2) B_1$, и подставив эти выражения в уравнения (13), получим с учетом равенства (30) два уравнения, связывающие неизвестные пока значения параметров $\omega, \sigma_1, \sigma_2, h_1, h_2$. Эти уравнения, имеющие следствием уравнение (14), после преобразований сводятся к виду

$$s_1 + s_2 c_3 + c_2 s_3 = h_2 s_2 s_3, \quad s_3 + s_1 c_2 + c_1 s_2 = h_1 s_1 s_2. \tag{31}$$

Другие соотношения между упомянутыми параметрами следуют из двух уравнений (19) с $i = 1$ и $i = 2$. Они после преобразований принимают вид

$$h_1 = 2 \frac{c_1}{s_1} = 2 \operatorname{ctg} \omega \sigma_1, \quad h_2 = 2 \frac{c_3}{s_3} = 2 \operatorname{ctg} \omega (\pi - \sigma_1), \tag{32}$$

а также включают равенство

$$\sigma_2 - \sigma_1 = \pi, \tag{33}$$

влекущее $c_2 = c_1 c_3 - s_1 s_3 = \cos \pi \omega, s_2 = s_1 c_3 + c_1 s_3 = \sin \pi \omega, S = 2 s_2 c_2$.

С учетом последних соотношений определим все коэффициенты функции $u(\sigma)$:

$$A_2 = 2 s_1 c_1 B_1, \quad B_2 = (s_1^2 - c_1^2) B_1, \quad A_3 = -S B_1, \quad B_3 = C B_1,$$

найдем из уравнения (15) $a_0 = \omega B_1$, и, исследовав выражение \dot{X}^μ при $\sigma = \sigma_1$ и $\sigma = \sigma_2$, вычислим скорости массивных точек. Они после учета равенства (33) сводятся к виду

$$v_1 = s_1, \quad v_2 = s_3.$$

Эти равенства в совокупности с уравнениями (32) позволяют выразить

$$h_i = 2 \sqrt{v_i^{-2} - 1}, \quad i = 1, 2$$

(что совпадает с уравнениями (29)) и, с учетом равенств (23), получить уравнение

$$\frac{m_1 v_1}{1 - v_1^2} = \frac{m_2 v_2}{1 - v_2^2}.$$

Если исходными данными центрального ротационного состояния являются значения параметров m_1, m_2, γ, v_1 , то, определив с помощью последних уравнений v_2, h_1 и h_2 , мы можем вычислить из системы уравнений (32) значения

$$\omega = \frac{1}{\pi} \left(\operatorname{arctg} \frac{2}{h_1} + \operatorname{arctg} \frac{2}{h_2} \right) + n_1^*; \quad \sigma_1 = \frac{1}{\omega} \left(\operatorname{arctg} \frac{2}{h_1} + k \right),$$

а также значения остальных параметров в выражении (27) с помощью приведенных здесь формул.

Авторы признательны РФФИ за поддержку в рамках проекта 05-02-16722.

Список литературы

- [1] Шаров Г.С. Спектр состояний замкнутой струны, нагруженной массивными точками. // Вестник ТвГУ, Сер. Прикладная математика, 2007. Вып. № 5 [33]. С. 21-27.
- [2] Шаров Г.С. Струнные модели бариона и траектории Редже. // Ядерная физика. 1999. Т. 62. №10. С. 1831.
- [3] Sharov G.S. String baryonic model "triangle": Hypocycloidal solutions and the Regge trajectories. // Physical Review D. 1998 V. 58. №11. P. 114009.
- [4] Sharov G.S. String models of glueball and Regge trajectories. / hep-ph/0612277.
- [5] Миловидов А.Е., Шаров Г.С. Замкнутые релятивистские струны в пространствах с нетривиальной геометрией. // Теоретич. и математич. физика. 2005. Т. 142. №1. С. 72.
- [6] Pons J.M., Russo J.G., Talavera P. Semiclassical string spectrum in a string model dual to large N QCD. // Nucl. Phys. B. 2004 V. 700. P. 71, hep-th/0406266.
- [7] Mathieu V., Semay C., Brau F. Casimir scaling, glueballs and hybrid gluelumps. // Eur. Phys. J. A. 2006, V. 27. P. 225, hep-ph/0511210